



## کانسار اپی ترمال سولفیداسیون حدواسط مس± طلا رشت آباد (شمال زنجان): شواهد کانه- زایی، میانبارهای سیال و ایزوتوپ‌های پایدار C-O

نیر اجلی، اشرف ترکیان\*، ابراهیم طالع فاضل

گروه زمین‌شناسی، دانشکده علوم پایه، دانشگاه بوعلی سینا، همدان

(دریافت مقاله: ۹۸/۱۲/۲۴، نسخه نهایی: ۹۹/۵/۷)

**چکیده:** کانسار مس± طلا رشت آباد (شمال زنجان) بخشی از کمربند فلزیابی طارم- هشتگین در پهنه البرزغربی- آذربایجان است. واحدهای رخمنویافته شامل سنگ‌های آتشفشاری و نیمه عمیق ائوسن با سرشت آهکی-قلیابی تا شوشونیتی هستند که در گستره کمان آتشفشاری قرار دارند. مهمترین دگرسانی‌های در ارتباط با کانه‌زایی شامل دگرسانی‌های کم دمای سیلیسی و سریسیتی هستند. کانه‌سازی در رگه‌های کوارتز-سولفید شامل مجموعه‌های اکسیدی (هماتیت)، سولفیدی (کالکوپیریت، کوولیت، بورنیت و گالن)، سولفاتی (باریت) و کربناتی (مالاکیت و آزوریت)، است. داده‌های میانبارهای سیال برای میانبارهای دوفازی مایع+بخار (L+V) اولیه، دمای ۱۳۸ تا ۳۲۰°C (متوسط ۲۲۹°C) و شوری ۹/۴۱ تا ۲/۴۹ (متوسط ۵/۹۵) درصد وزنی معادل نمک طعام، نشانگر پدیده آمیختگی هم دما و رقيق‌شدگی سیال کانه‌ساز هستند. همچنین مقادیر  $\delta^{13}\text{C}$  (۹-۹/۲۱٪ تا ۱۴٪) و  $\delta^{18}\text{O}$  (۶-۶/۸۱٪ تا ۱۵٪) نیز بیانگر عملکرد سیال جوی در شکل‌گیری رگه‌های کربناتی مرحله تأخیری است. ویژگی‌های اصلی کانسار رشت آباد گویای شباهت این ذخیره با کانسارهای اپی ترمال سولفیداسیون حدواسط است.

**واژه‌های کلیدی:** رقيق‌شدگی؛ کانه‌سازی چندفلزی؛ میانبار سیال؛ کمربند فلزیابی طارم- هشتگین.

عرض شمالی و "۰°۰'۹" تا "۰°۲۰'۰" طول شرقی، واقع است. نتایج پژوهش‌های اکتشافی در مقیاس ۱:۲۰۰۰۰ [۵] شامل بررسی زمین شیمیایی آبراهه‌ای، کانی سنگین، حفر ترانشه و برداشت نمونه چکشی، منجر به کشف رگه‌های چندفلزی در منطقه رشت آباد شد.

از کانسارها و رخدادهای مهم معدنی در این گستره می‌توان به کانسارهای آهن مرواردید [۶، ۷] و آهن سرخه دیزج [۸]، مس علی‌آباد [۹، ۱۰]، مس آق‌کند [۱۱] و رگه‌ای مس± طلا گلوچه [۱۲، ۱۳]، مس± طلا لوبین-زرده [۱۴] و نیز کانسار چندفلزی زاجکان [۱۵]، اشاره کرد. با توجه به گسترش کانی‌زایی‌های فراوان در منطقه زنجان و کمربند طارم- هشتگین، بررسی کانسار رشت آباد می‌تواند الگویی برای اکتشاف کانسارهای مشابه در این حوضه باشد. در این پژوهش،

### مقدمه

کمربند فلزیابی طارم- هشتگین یکی از گستره‌های مهم فعالیت ماگمایی- فلزیابی در ایران محسوب می‌شود که رخداد حجم بالایی از سنگ‌های آذرین با ماهیت نفوذی، نیمه نفوذی تا آتشفشاری در آن به ویژه در گستره زمانی ائوسن- الیگوسن به همراه رخدادهای متنوع عنصر فلزی و غیرفلزی و وجود دگرسانی‌های گستردۀ باعث شده است تا این ناحیه از دیدگاه اقتصادی برای ردیابی رخدادهای مختلف معدنی مناسب باشد [۱، ۲]. براساس تقسیم‌بندی پهنه‌های ساختاری ایران، منطقه مورد بررسی در بخش غربی پهنه البرز [۳] یا البرزغربی- آذربایجان [۴] قرار دارد و وابسته به کمربند فلزیابی طارم- هشتگین است (شکل ۱). کانسار رشت آباد در ۴۵ کیلومتری شمال غرب زنجان در مختصات "۳۷°۰'۹" تا "۳۶°۵'۹" و "۱۰'۱" تا "۱۶'۰" نویسنده مسئول، تلفن: ۰۸۱-۳۸۳۸۱۶۰، نامبر: ۰۸۱-۳۸۳۸۱۱۷۲، پست الکترونیکی: a-torkian@basu.ac.ir

آریزونا ارسال شدند. در آنجا برای اندازه‌گیری نسبت این ایزوتوپ‌ها پودر نمونه به مدت ۲۴ ساعت در معرض اسید فسفریک خالص در دمای  $70^{\circ}\text{C}$  قرار گرفت و گاز  $\text{CO}_2$  متصاعد Finnigan Mat 252 شده از هر نمونه توسط طیف‌ستج جرمی  $^{13}\text{C}$  شده از هر نمونه توسط طیف‌ستج جرمی  $^{18}\text{O}$  مقداری برحسب قسمت در هزار (‰) نسبت به استاندارد مرجع بلمنیت پی دی (PDB) محاسبه گردیدند. خطای اندازه‌گیری با این دستگاه برای  $^{18}\text{O}$  برابر با  $+0.1 \pm 0.1$  و برای  $^{13}\text{C}$  برابر با  $+0.8 \pm 0.8$  گزارش شده است.

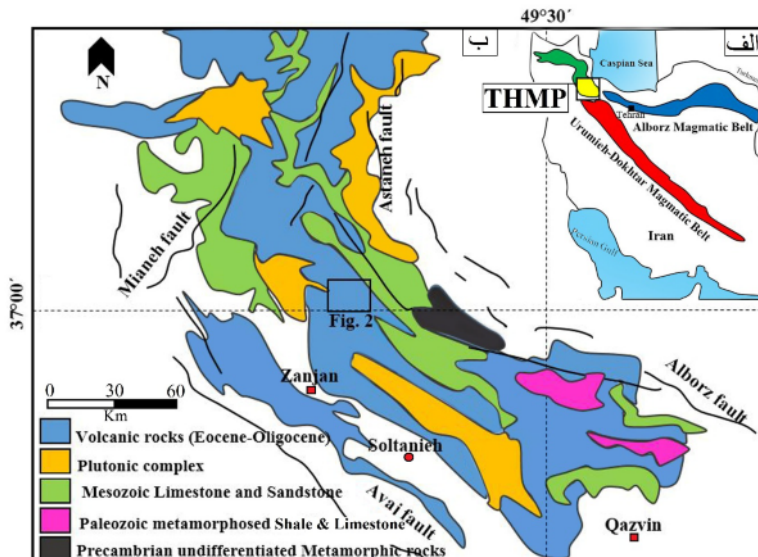
#### زمین‌شناسی

رونده عمومی ساختارهای زمین‌شناسی در کمربند فلزی ای طارم-هشتگین، هم‌راستا با دیگر مناطق البرز‌غربی، راستای شمال‌غرب-جنوب‌شرق است. این منطقه از چهار واحد چینه‌ای-ساختاری از قدیم به جدید شامل ۱) مجموعه سنگ‌های دگرگونی شیست، فیلیت و سنگ‌های فلسیک وابسته به پرکامبرین، ۲) مومر دولومیتی و فیلیت (کامبرین) و سنگ‌های کربناتی و شیل (پرمن)، ۳) ماسه‌سنگ و سنگ آهک کم ضخامت پالئوزوئیک تا مژوزوئیک و ۴) سنگ‌های آتش‌شانی و نیمه عمیق ائوسن-الیگوسن با ترکیب تراکی‌بازالت، تراکی‌آندرزیت، تراکی‌داسیت، آندرزیت، بازالت‌آندرزیتی، بازالت، روپلاست، روپولیت و توف است [۱۷]. منطقه معدنی رشت‌آباد در بخش مرکزی کمربند فلزی ای طارم-هشتگین و در جنوب ورقه زمین‌شناسی ۱:۱۰۰۰۰۰ هشتگین در واحدهای آتش‌شانی ائوسن تشکیل شده است (شکل ۲).

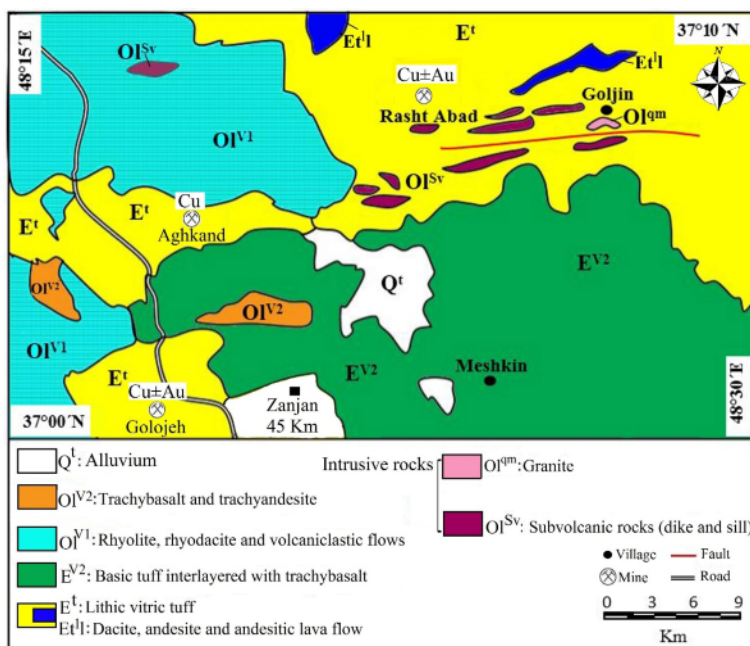
پس از معرفی کانسار، چگونگی تشکیل، شرایط دمایی و ویژگی-های فیزیکوشیمیایی سیال کانه‌ساز این کانسار بر اساس شواهد کانه‌زایی، دگرسانی، میانبارهای سیال و ایزوتوپ‌های پایدار کربن-اکسیژن بررسی شده است.

#### روش پژوهش

پس از بازدیدهای صحرایی، از بخش‌های مختلف کانسار شامل رگه‌های کوارتز-سولفیدی، هاله‌های دگرسانی و سنگ میزبان، نمونه‌برداری شد. تعداد ۳۶ مقطع نازک، ۱۲ مقطع نازک صیقلی و ۲ مقطع صیقلی آماده و بررسی گردیدند. به منظور شناسایی کانه‌ها و بررسی دگرسانی، ۴ نمونه به روش پراش پرتو ایکس (XRD) دستگاه Philips-Xpert Pro در مرکز تحقیقات فراوری مواد معنده ایران تجزیه شدند. بررسی‌های سنگ‌نگاری میانبار سیال بر ۵ مقطع دوپرصفیل با قطر متوسط ۱۵۰ میکرون توسط میکروسکوپ نوری زایس در دانشگاه بولعلی سینا همدان انجام شد. سپس، ریزدماسنجی آنها توسط سکوی گرمایش-سرماشی لینکام مدل THMS600 با گستره دمایی  $-196^{\circ}\text{C}$  تا  $+600^{\circ}\text{C}$  در مرکز تحقیقات فرآوری مواد معنده ایران انجام شد. واسنجی سکو در مرحله گرمایش با دقت  $\pm 0.6^{\circ}\text{C}$  توسط نیترات سزیم (با نقطه ذوب  $414^{\circ}\text{C}$ ) و در مرحله انجماد با دقت  $\pm 0.2^{\circ}\text{C}$  توسط ماده استاندارد  $n$  هگران (با نقطه ذوب  $-94.3^{\circ}\text{C}$ )، انجام شد. سرانجام، مقادیر شوری بدست آمده ریزدماسنجی میانبار سیال با استفاده از نرم افزار تخصصی FLINCOR نسخه براون [۱۶] کنترل شدند. تعداد ۸ نمونه کلسیت از رگه‌های کربناتی تأخیری به منظور تجزیه ایزوتوپی کربن-اکسیژن به آزمایشگاه ایزوتوپی دانشگاه



شکل ۱ (الف) موقعیت پهنه فلزی ای طارم-هشتگین و منطقه مورد بررسی در بخش غربی قوس ماقمایی البرز و (ب) نمایی کلی از زمین‌شناسی طارم-هشتگین و موقعیت منطقه مورد بررسی (شکل ۲) در آن برگرفته از مرجع [۱].



شکل ۲ نقشه زمین‌شناسی ساده شده منطقه مورد بررسی برگرفته از ورقه زمین‌شناسی ۱:۱۰۰۰۰۰ هشتتجین [۱۸] با تغییرات.

۳-الف). گسل‌های فرعی با روند شرقی-غربی و شمال‌غرب-جنوب‌شرق پیرامون این گسل تشکیل شده‌اند [۱۳].

#### سنگ‌شناسی سنگ‌های آذرین میزان

سنگ‌های آتشفسانی سنوزوئیک با ترکیب بازیک تا حدواسط در منطقه رشت‌آباد بیشترین گسترش را داردند (شکل ۲). برپایه رده‌بندی‌های مراجع [۲۱-۱۹] در نمودار  $\text{Na}_2\text{O}+\text{K}_2\text{O}$  نسبت به  $\text{SiO}_2$ ، سنگ‌های آتشفسانی منطقه مورد بررسی در گستره آندزیت-باخت و تراکی آندزیت واقع شده‌اند. با توجه به وجود دگرسانی در سنگ‌های منطقه و به منظور کاهش آثار دگرسانی در نامگذاری و تعیین سری مagmaی از نمودارهای عناصر غیر متحرک استفاده شد. به این منظور برای نامگذاری سنگ‌های منطقه از نمودار  $\text{Zr}/\text{TiO}_2$  نسبت به  $\text{SiO}_2$  استفاده شد [۲۲]. بر این اساس، سنگ‌های منطقه در گستره ترکیبی باخت آندزیت-آندزیت واقع شده‌اند [۲۳]. برای تعیین سری مagmaی سنگ‌ها و مشخص شدن وابستگی آنها از نمودار  $\text{C}_0/\text{Th}$  نسبت به  $\text{La}/\text{Yb}$  استفاده شد که سنگ‌های منطقه سرنشت آهکی-قلیابی تا شوشوونیتی را نشان می‌دهند [۲۳]. سنگ‌های بازیک و حدواسط منطقه از نظر محیط زمین‌ساختی مagmaی در نمودار  $\text{Th}/\text{Yb}$  نسبت به  $\text{La}/\text{Yb}$  [۲۵] در گستره باخت‌های کمان کرانه قاره قرار دارند [۲۳].

با توجه به نقشه ۱:۱۰۰۰۰۰ ورقه هشتتجین [۱۸] (شکل ۲)، سنگ‌های آذرین منطقه به ترتیب از قدیم به جدید شامل ۱) ردیفی از سنگ‌های آذرآواری (واحد  $E^t$ ) توف سبز با لایه‌بندی منظم با میان‌لایه‌های گدازه‌های داسیتی-آندزیتی و باخت آندزیتی ( $E^t 1$ ) و توف‌های بازیک با درون لایه‌های گدازه‌های تراکی باخت (واحد  $E^{V2}$ ، ۲) مجموعه‌ای از سنگ‌های ریولیت، ریوداسیت با بافت پورفیری (واحد  $OI^{V1}$ ) و تراکی باخت، تراکی آندزیت (واحد  $OI^{V2}$ ) به سن الیگوسن، ۳) سنگ‌های آذرین نیمه‌عمیق با ترکیب تراکی آندزیتی و ۴) سنگ‌های آذرین نفوذی با ترکیب کوارتزمونزونیت و کوارتزسینیت (واحد  $OI^{qsm}$ ) هستند. سن این واحد (توده نفوذی گلچین) را به روش  $41.87 \pm 1.58$  میلیون سال (معادل اوسن میانی) محاسبه کرده‌اند [۱۷].

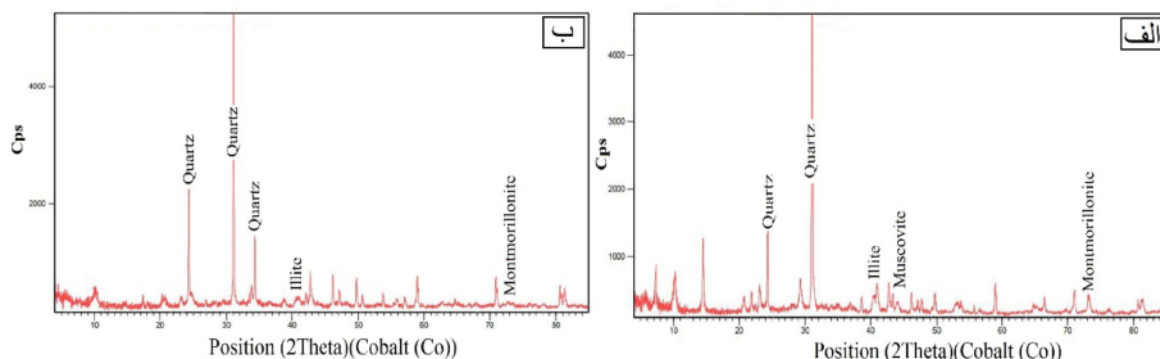
بر اساس شواهد صحرایی، واحدهای آتشفسانی معادل سازند کرج، بخش عمده منطقه مورد بررسی را تشکیل می‌دهند که شامل باخت‌ها هستند. در اثر حرکت‌های زمین‌ساختی، نهشته‌های اوسن در منطقه دچار چین‌خوردگی و گسلش شده‌اند و همزمان با آن نفوذ توده‌های متعدد در سنگ‌های ناحیه موجب کانی‌سازی فلزات پایه و گرانیتها شده است [۱۲]. گسل رشت‌آباد با روند شرقی-غربی از شرق معدن رشت‌آباد آغاز می‌شود و تا روستای گلچین ادامه دارد. این گسل به عنوان کنترل کننده پهنه‌های برشی کانی‌ساز و رگ‌ها از مهمترین پدیده‌های منطقه است (شکل



شکل ۳ (الف) گسل رشت‌آباد با روند شرقی-غربی (دید به سمت شمال)، (ب) رخنمونی از دگرسانی‌های دیده شده در منطقه (دید به سمت جنوب).

محلول‌های گرمابی غنی از سیلیس در سنگ‌های منطقه است. این دگرسانی بصورت رگه-رگچه‌ای و پرکننده حفره‌ها و سیلیسی‌شدن بخش‌هایی از سنگ دیواره (میزان کانه‌زایی) در منطقه مورد بررسی نمود دارد. رگچه‌ها با پهنه‌ای مختلف از مرتبه میلیمتر تا چند سانتی‌متر دیده می‌شوند. دگرسانی سریسیتی با همبازایی کوارتز، سریسیت و ارتوکلاز در منطقه قابل تشخیص است. در این دگرسانی، پلاژیوکلازها و فلدسپات‌های قلیایی به طور بخشی به سریسیت تبدیل شده‌اند. دگرسانی آرژیلیک نیز با حضور فازهای کانیایی کوارتز، مونتموریونیت، ایلیت و موسکویت قابل تشخیص است (شکل ۴). مجموعه کانی‌های دیده شده در دگرسانی‌های کانسار رشت‌آباد در جدول ۱ آورده شده‌اند.

**دگرسانی**  
دگرسانی‌های پروپیلیتی، آرژیلیک، سریسیتی و سیلیسی در ارتباط با رخداد کانه‌سازی و دگرسانی‌های آلونیتی و کلریتی بدون ارتباط مستقیم با کانه‌زایی در منطقه طارم-هشتجمین شناسایی شده‌اند [۲۶، ۲۷]. بررسی‌های صحرایی و نتایج طیفسنجی XRD نشان می‌دهند که سنگ‌های گرمابی شده‌اند (شکل ۳ ب). از مهمترین دگرسانی‌های موجود در منطقه می‌توان به دگرسانی‌های سیلیسی، سریسیتی و آرژیلیک اشاره کرد. مهمترین دگرسانی که در ارتباط تنگانگ با رگه‌های کانه‌دار و اغلب در حاشیه رگه‌ها دیده می‌شود، دگرسانی سیلیسی است. دگرسانی سیلیسی از رایج‌ترین و شناخته شده‌ترین انواع دگرسانی در ارتباط با نفوذ



شکل ۴ طیف‌های پراش پرتوی ایکس پهنه دگرسانی آرژیلیک در کانسار رشت‌آباد.

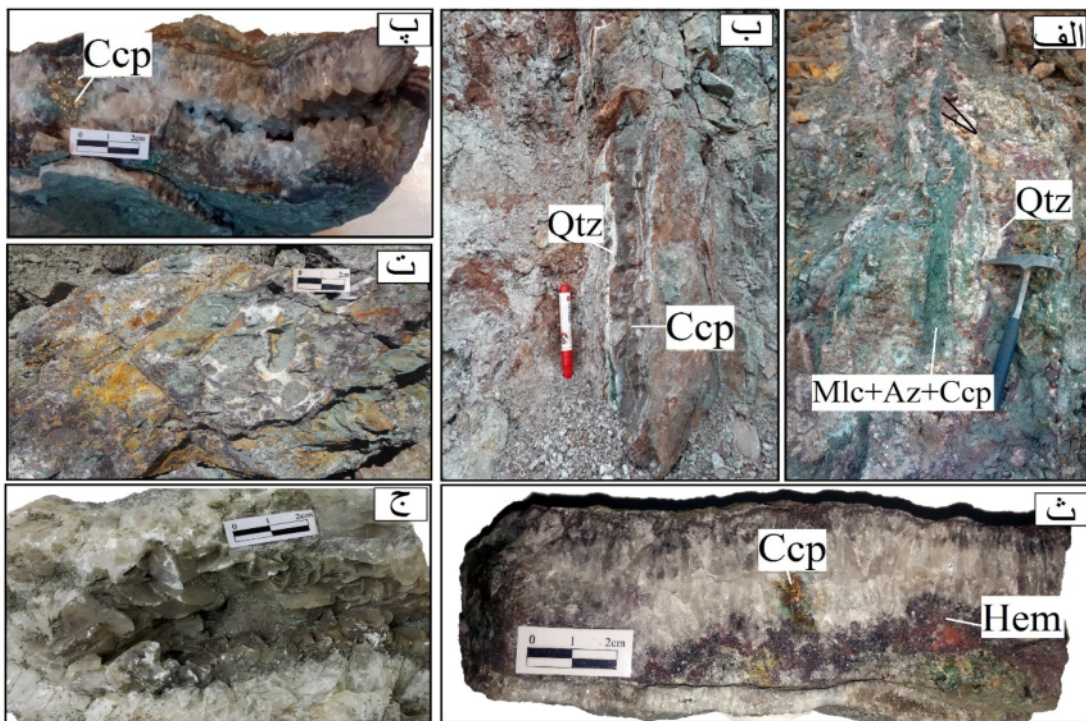
جدول ۱ نتایج میکروسکوپی و XRD از نمونه‌های برداشت شده از پهنه‌های دگرسانی کانسار رشت‌آباد.

نمونه	کانی‌ها	نوع دگرسانی	راه تشخیص
Rs-01	کوارتز-هماتیت-لانگیت	سیلیسی	XRD+ میکروسکوپی
Rs-02	کوارتز-کالکوپیریت-کلریت-ارتوکلاز	سیلیسی	XRD+ میکروسکوپی
Rs-03	کوارتز-ارتوکلاز-آلیت-کلریت-سانیدین-موسکویت	سیلیسی-سریسیتی	XRD+ میکروسکوپی
Rs-04	کوارتز-کلریت-ارتوکلاز-هماتیت-مالاکیت	سیلیسی	XRD+ میکروسکوپی
Rs-05	کوارتز-مونتموریونیت-آلیت-موسکویت-گوتیت	آرژیلیک	XRD
Rs-06	کوارتز-مونتموریونیت-آلیت-موسکویت-کالکوسیت	آرژیلیک	XRD

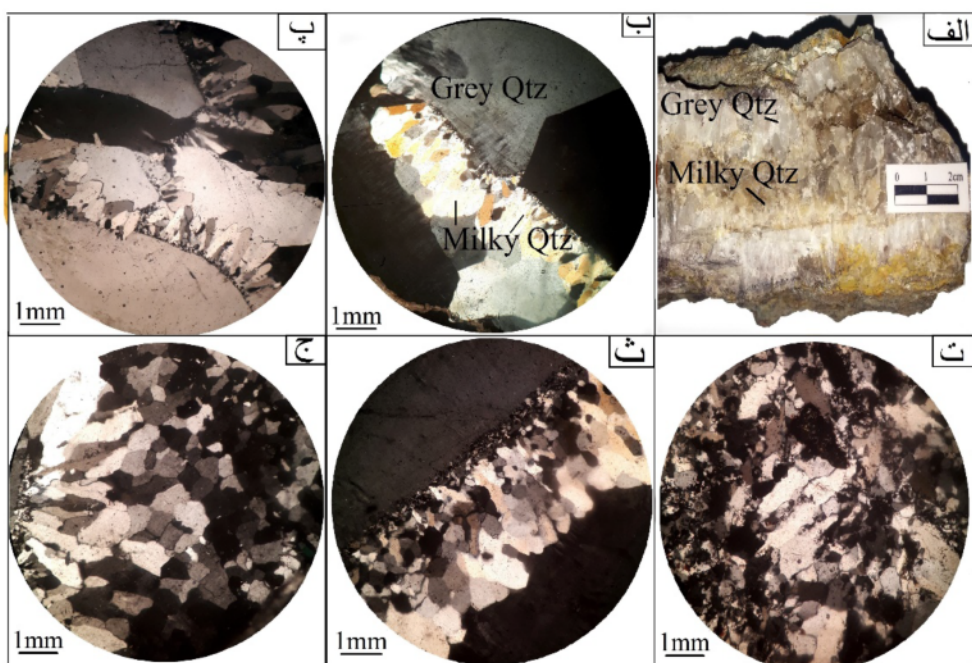
(شکل ۶ ث) و (۴) کوارتزهای شعاعی (controlled Radiating) (شکل ۶ ج)، هستند. ساخت و بافت رگه-رگچه‌ای، شانه‌ای، پرکننده فضای خالی و برشی با سیمان سیلیسی در منطقه دیده می‌شود (شکل ۵) که کانه‌های فلزی (سولفیدی-اکسیدی) و غیرفلزی (سیلیکاتی و کربناتی) هستند. کانه‌های سولفیدی دیده شده در مقاطع صیقلی منطقه شامل کالکوپیریت، بورنیت، کالکوسیت، گالن و کوولیت و کانه‌های اکسیدی شامل هماتیت، گوتیت و کانه کربناتی ملاکیت و آزوریت هستند که طی دوفاز کانی سازی درون زاد و بروزن زاد شکل گرفته‌اند. در بررسی‌های میکروسکوپی، شواهدی از حضور طلای آزاد در نمونه‌ها یافت نشد و بر اساس تعزیه‌های شیمیایی طیف‌ستنجی نشر نوری پلاسمای جفت شده القایی (ICP-OES) در رگه‌های کوارتز-سولفید، عیار طلا تا ۳ گرم در تن (ppm) گزارش شده است [۵]. با توجه به شواهد، بنظر می‌رسد که بخش عمده رخداد طلا در کانسار رشت آباد بصورت طلای غیرقابل مشاهده در ساختار کالکوپیریت باشد که تایید آن نیازمند بررسی با میکروسکوپ الکترونی روبشی است.

### کانه‌زایی و توالی همبازایی

فعالیت‌های گرمابی در منطقه رشت‌آباد سبب ایجاد دو سامانه رگه-رگچه‌ای در منطقه شده‌اند که شامل رگه-رگچه‌های کوارتزی همراه کانه‌های سولفیدی (شکل ۵) و رگه-رگچه‌های کربناتی تأخیری بدون کانه‌زایی هستند. رگه-رگچه‌های کوارتزی دربردارنده کانه‌های سولفیدی با راستای تقریبی شرقی-غربی موازی با گسل رشت‌آباد، فراوانترین نوع رگه-رگچه‌های کانه‌دار در منطقه رشت‌آباد و بصورت قطع کننده سنگ میزبان هستند (شکل‌های ۵ الف و ب). آثاری از سنگ دیواره بصورت خرد شده درون این رگه-رگچه‌ها یافت می‌شود. کانه‌های باطله شامل کوارتزهای خاکستری درشت خودشکل و به مقدار کمتر کوارتزهای شیری-سفید متوسط تا ریزدانه هستند (شکل‌های ۶ الف، ب). بر اساس تقسیم‌بندی‌های انجام شده توسط ورنکمپ [۲۸]، چهار نسل کوارتز در رگه‌های سیلیسی کانه‌دار وجود دارند که شامل ۱) کوارتزهای رشد یافته در راستای بلورشناسی ویژه (Face-controlled) (شکل ۶ ب)، ۲) کوارتز بدون سمتگیری مشخص (Non directional-)، ۳) کوارتزهای نواری (Parallel-) (شکل ۶ ت)، ۴) کوارتزهای نواری (controlled)



شکل ۵ (الف) رگه‌های کوارتز نواری کانه‌زایی دارای کالکوپیریت همراه ملاکیت و آزوریت در میزبان واحد آندزیت، (ب) بافت نواری کوارتز-کالکوپیریت در میزبان واحد آندزیت-بازالت، (پ) نمایی نزدیک از کوارتزهای دندانه سگی به همراه کالکوپیریت، (ت) بافت برشی با سیمان کلسیتی، (ث) کوارتز شانه‌ای و هماتیت به همراه کالکوپیریت، (ج) نمایی نزدیک از کلسیت تیغه‌ای (Bladed Quartz). نشانه‌های اختصاری کانه‌ها [۲۹]: .Hematite: Hem, Azurite: Az, Malachite: Mlc, Chalcopyrite: Ccp, Qtz



شکل ۶ تصاویر نمونه دستی و میکروسکوپی از الف و ب) کوارتزهای شیری و خاکستری، پ) کوارتزهای رشد یافته در راستای بلورشناسی ویژه، ت) کوارتزهای بدون سمتگیری مشخص، ث) کوارتزهای نواری، ج) کوارتزهای عبوری قطبیده متقاطع .X.P.L. تهیه شده است.

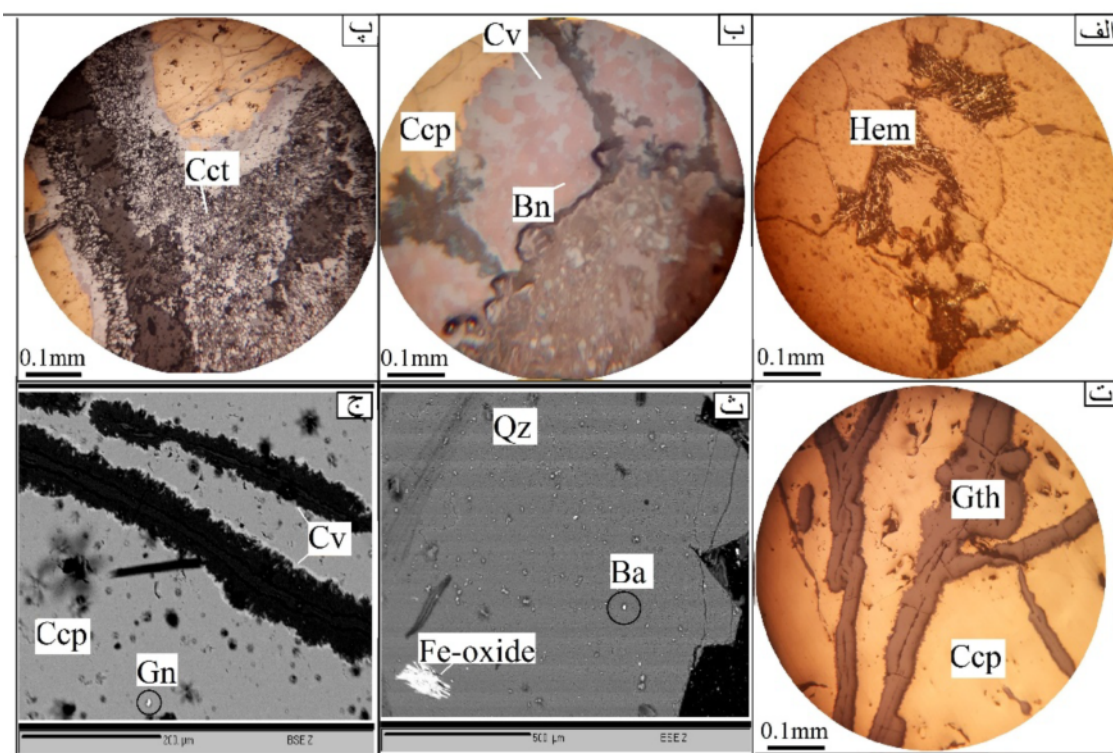
بصورت جاشینی و در طول شکستگی‌ها جاشینی کالکوپیریت شده‌اند. کانی‌های ملاکیت و آزوریت اغلب بصورت دسته جارویی و دارای بافت شکافه پرکن هستند و حفره‌ها و فضاهای خالی را پر کرده‌اند. کانی گوتیت از لبه و مرز شکستگی‌ها جاشینی کالکوپیریت شده است (شکل ۷ ت). توالی همبرزایی کانسار رشت آباد در شکل ۸ آورده شده است.

#### میانبارهای سیال

**سنگنگاری:** بررسی میانبارهای سیال منطقه برای میانبارهای اولیه در میزان کوارتز از رگه‌ی کوارتز کانه‌دار بدون سمتگیری، نواری و شعاعی انجام شد. میانبارهای دیده شده بیشتر به صورت کروی، کشیده و بی‌شکل و با اندازه ۱۵-۵ میکرون هستند. بر اساس تقسیم‌بندی‌های انجام شده [۳۰، ۳۱]، میانبارها از نوع دوفازی مایع+بخار (شکل‌های ۹ الف و پ) و تک فازی مایع (شکل ۹ ب) تشخیص داده شدند و هیچ شاهدی از حضور فاز جامد هالیت و یا  $\text{CO}_2$  مایع دیده نشد. پدیده باریک‌شدن گردندار شدن نیز در میانبارهای سیال بررسی شده دیده شد (شکل ۹ ت). کوارتز خاکستری فاز غالب در رگه‌ها بوده و مربوط به مرحله اصلی کانی‌سازی است. بنابراین اندازه‌گیری‌های میانبارهای سیال برای این نوع کوارتز انجام شده است.

کانی‌سازی در مرحله درونزad به سه زیر مرحله پیش از کانی‌سازی اصلی، کانی‌سازی اصلی و پس از کانی‌سازی اصلی تقسیم می‌شود. هماتیت‌های تیغه‌ای بصورت دسته جارویی در آغاز مراحل کانی‌سازی به علت بالا بودن گریزندگی اکسیژن ( $\text{O}_2$ ) از سیال جدا شده‌اند (شکل ۷ الف). کانی‌سازی در مرحله اصلی با تشکیل کوارتز خاکستری متوسط تا درشت‌بلور آغاز می‌شود که اغلب بدون سمتگیری مشخص هستند. در ادامه کانی‌سازی، به تدریج از مقدار کوارتز خاکستری کاسته شده و کوارتزهای شیری تشکیل می‌شوند. کوارتزهای شیری ریز تا متوسط بلور هستند و Face-controlled (به مقدار کمتر بصورت شعاعی و یا نواری دیده می‌شوند. مهمترین کانی سولفیدی همراه با این نوع کوارتزها کالکوپیریت است که کالکوپیریت بصورت نیمه‌شکل‌دار تا بی‌شکل همراه با کانی‌های گالن و باریت در منطقه دیده می‌شود (شکل ۷ ث، ج). این کانی در متن سنگ‌های درونگیر و یا همراه رگه‌های سیلیسی و یا بصورت شکافه پرکن دیده می‌شود. مهمترین بافت موجود در کالکوپیریتها بافت جاشینی است که در نتیجه آن بورنیت‌ها در راستای سطح رخ و از لبه در حال جاشینی شدن به جای کالکوپیریتها هستند (شکل ۷ ب).

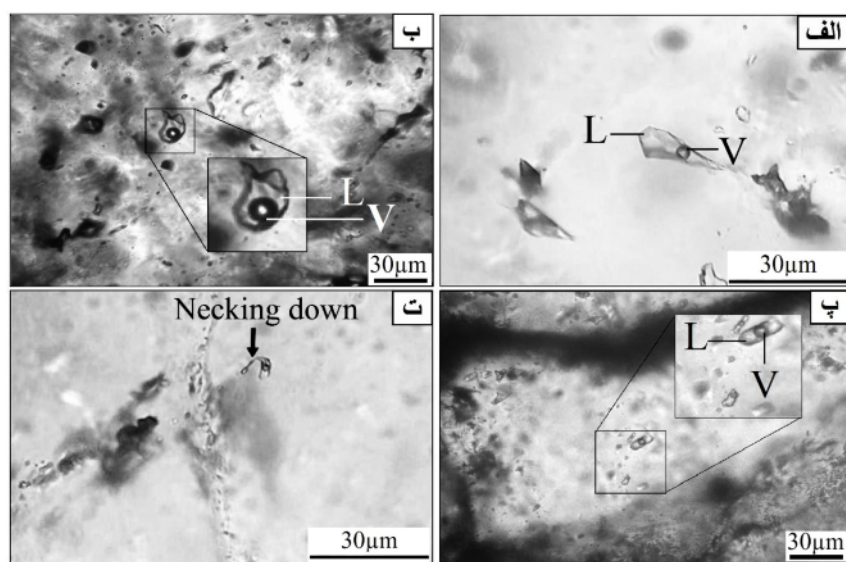
کانی‌سازی سولفیدی برونزad شامل کوولیت (شکل ۷ ب) و کالکوسیت (شکل ۷ پ) است. در این فاز، کالکوسیت و کوولیت



شکل ۷ تصاویر میکروسکوپ‌های نوری و الکترونی روبشی (SEM) از (الف) انباسته‌های هماتیت‌های تیغه‌ای بصورت دسته جارویی در پیریت، (ب) کانی‌سازی کالکوپیریت در کنار بورنیت و کولیت، (پ) کالکوسيت‌های دانه شکری، (ث) جانشینی گوتیت در شکستگی‌های کالکوپیریت، (ج) کانی‌سازی گالن در میزبان کالکوپیریت. (نشانه‌های اختصاری کانی‌ها Malachite: Gth، Chalcopyrite: Ccp، Bornite: Bn، Covelite: Cv، Chalcocite: Cct، Hematite: Hem، Goethite: Gth، Azurite: Az، Mlc: میزبان کوارتز، قطبیده صفحه‌ای تهیه شده اند) (P.P.L.)

Minerals	Pre-mineralization	Ore stage	Post mineralization	Supergene
<b>Ore minerals</b>				
Hematite				
Chalcopyrite				
Galena				
Azurite				
Malachite				
Chalcocite				
Bornite				
Goethite				
<b>Gangue Minerals</b>				
Face Control Quartz		- - -		
Non-directional Quartz		- - -		
Parallel Control Quartz		- - -		
Radiating Quartz		- - -		
Calcite			- - -	
Barite			- - -	

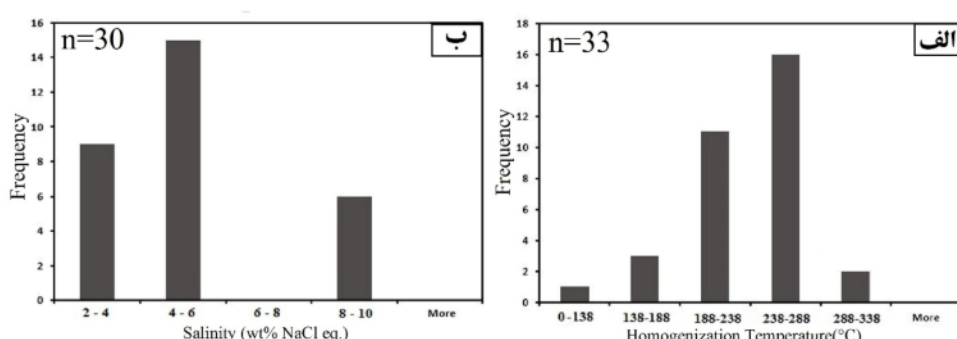
شکل ۸ توالی همبازایی کانسار رشت آباد. ضخامت خطوط معرف فراوانی کانی در هر مرحله است.



شکل ۹ تصاویر سنگنگاری میانبارهای سیال کانی کوارتز: (الف، ب و پ) میانبار دو فازی (L+V) شامل از فازهای گاز (V) و مایع آبگین (L)، (ت) پدیده بازیکشده.

های ریزدماسنجی میانبارهای سیال کانسار رشت آباد در جدول ۲ آورده شده است. در نمودار شوری-دماهی همگن‌شدگی [۳۱] (شکل ۱۱ الف) می‌توان دو روند کاوشی در دماهی همگن‌شدگی نهایی و مقدار شوری سیال کانسارساز دیده کرد که اولی نشانگر فرایند آمیختگی با آبهای جوی کم دما-کم شوری (رقیق شدگی) و دومی نشان‌دهنده تداوم مهاجرت و نقش سیال گرمایی-ماگمایی در تزریق دوباره سیال به رگه‌ها و حفظ دماهی سیال (آمیختگی همدمای) است. حضور کلسیت‌های تیغه‌ای نیز از نشانه‌های رخداد جوشش در منطقه است (شکل ۵ ج). با این وجود شواهدی از رخداد جوشش چون حضور میانبارهای غنی از مایع و گاز در کنار هم در میانبارهای سیال دیده نشد.

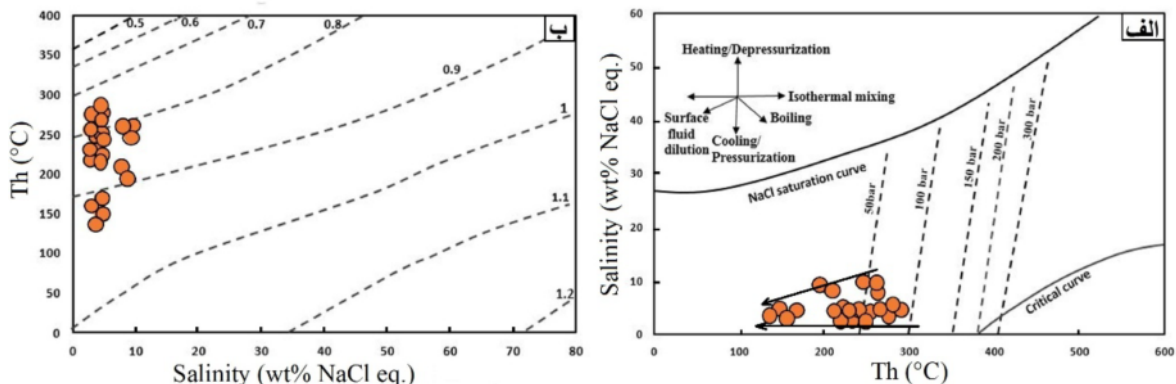
**دماهی همگن‌شدگی و شوری:** برای بدست آوردن دماهی پیدایش میانبار سیال و درصد شوری در نمونه‌های مورد بررسی ریزدماسنجی برای میانبارهای دوفازی غنی از مایع انجام شد. در این نمونه‌ها، دماهی همگن‌شدگی میانبارها به فاز مایع (Th<sub>ice</sub>) در میانبارهای دوفازی مایع و بخار در میزبان کوارتز (۳۲۹°C) به دست آمد. برپایه نمودار دماهی همگن‌شدگی نسبت به فراوانی، دماهی ۳۲۰°C تا ۱۳۸°C دارای بیشترین فراوانی است (شکل ۱۰ الف). همچنین دماهی آخرین قطعه یخ T<sub>m<sub>ice</sub></sub> به طور متوسط بین ۶-۱۵°C بدست آمد. براین اساس مقدار شوری محاسبه شده توسط براون [۱۶]، ۹/۴۱ تا ۲/۴۹ (متوسط ۵/۹۵) درصد معادل نمک طعام است (شکل ۱۰ ب). بیشترین فراوانی شوری نیز در گستره ۴-۶ درصد وزنی معادل نمک طعام بدست آمد. داده-



شکل ۱۰ (الف) نمودار دماهی همگن‌شدگی میانبارهای سیال دوفازی مایع+بخار منطقه کانه‌زایی رشت‌آباد نسبت به فراوانی آن‌ها، (ب) نمودار شوری میانبارهای سیال نسبت به فراوانی آن‌ها.

جدول ۲ داده‌های ریزدانستجی میانبارهای سیال L+V در میزبان کوارتز در کانسار مس-طلای رشت‌آباد. (Te: دمای ذوب نخستین تکه یخ. Th<sub>ice</sub>: دمای همگن شدگی). (Th<sub>ice</sub>: دمای ذوب آخرین تکه یخ.)

نمونه	n	میزان	Te	Tm <sub>ice</sub> (°C)	Th <sub>l↔v</sub> (°C)	شوری (wt% NaCl eq.)	نمونه	n	میزان	Te	Tm <sub>ice</sub> (°C)	Th <sub>l↔v</sub> (°C)	شوری (wt% NaCl eq.)
Rs-08	۱	کوارتز بدون سمتگیری	-۲۱	-۲,۴	۲۵۰	۴,۰۷	Rs-04	۱	کوارتز خواری	-۲۱	-۶,۰	۲۵۰	۹,۴۱
	۲			-۲,۵	۲۶۰	۴,۲۴		۲			-۶,۰	۲۶۰	۹,۴۱
	۳			-۲,۵	۲۵۸	۴,۲۴		۳			-۶,۰	۲۵۸	۹,۴۱
	۴			-۲,۰	۱۹۶	۳,۳۸		۴			-۵,۵	۱۹۶	۸,۷۵
	۵			-۲,۰	۲۰۸	۳,۳۸		۵			-۵,۰	۲۰۸	۸,۰۷
	۶			-۲,۴	۲۴۲	۴,۰۷		۶			-۲,۵	۲۴۲	۴,۲۴
	۷			-۲,۵	۲۷۳	۴,۲۴		۷			-۲,۰	۲۷۳	۳,۳۹
	۸			-۲,۵	۲۶۰	۴,۲۴		۸			-۵,۰	۲۶۰	۸,۰۷
	۹			-۲,۵	۲۸۵	۴,۲۴		۹			-۲,۵	۲۸۵	۴,۲۴
	۱۰			-۲,۵	۲۲۲	۴,۲۴		۱۰			-۲,۶	۲۲۲	۴,۴۱
	۱۱			-۲,۵	۲۲۰	۴,۲۴		۱۱			-۱,۷	۲۲۰	۲,۸۵
Rs-11	۱	کوارتز رشد پافکه رسانشی بلوری و نزدیک	-۲۱	-۲,۰	۲۲۸	۳,۳۸		۱۲			-۲,۰	۲۲۸	۳,۳۹
	۲			-۲,۵	۲۴۰	۴,۲۴		۱۳			-۲,۵	۲۴۰	۴,۲۴
	۳			-۲,۰	۲۲۰	۳,۳۸		۱۴			.....	۳۲۰	.....
	۴			-۲,۰	۳۰۲	۳,۳۸		۱۵			.....	۳۰۲	.....
	۵			-۲,۵	۲۵۹	۴,۲۴		۱۶			.....	۲۵۹	.....
	۱۷			۱۷	-۱,۵	۲۴۵		۲,۴۹					



شکل ۱۱ (الف) نمودار دمای همگن شدگی نسبت به شوری و فرآیند آمیختگی هم‌دمای و رقیق‌شدگی توسط آب‌های جوی دما و شوری پایین [۳۱]، (ب) نمودار شوری نسبت به دمای همگن شدگی برای تعیین چگالی سیال کانساز کانساز رشت‌آباد [۳۳].

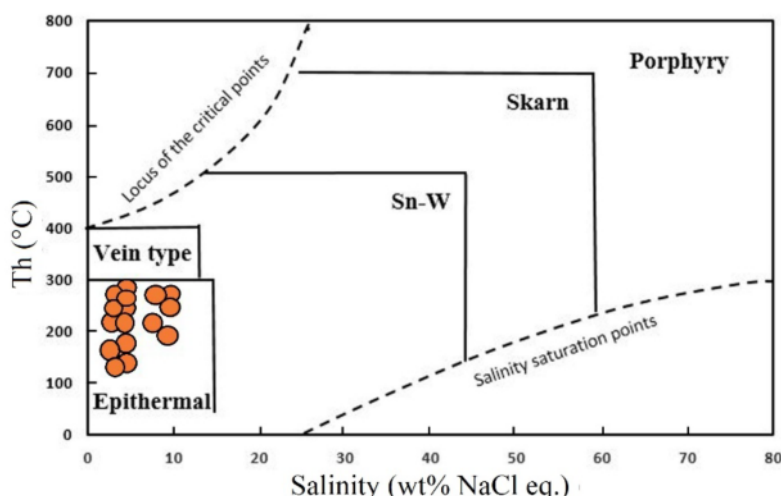
### ایزوتوپ‌های کربن-اکسیژن

رگه‌های کربناتی از باطنله‌های مهم در ذخایر فراگرمایی محسوب می‌شوند که اغلب طی فازهای پایانی کانه‌زایی پس از رخداد کانه‌زایی سولفیدی اصلی بصورت پرکنده فضای خالی یا رگه‌ای کانسنسنگ سولفیدی را قطع می‌کنند [۳۴، ۳۵]. شکل-گیری این رگه‌ها و چگونگی رخداد آنها اطلاعات مفیدی پیرامون تشکیل و تکامل سیال کانساز بویژه در مراحل پایانی کانه‌زایی در اختیار می‌گذارد که در این زمان، اغلب سامانه

چگالی، نوع کانساز: با استفاده از نمودار دمای همگن شدگی-شوری سیال [۳۳]، می‌توان چگالی سیال را بدون توجه به شرایط به دام افتادن آن تعیین کرد. براین اساس، چگالی میانبارهای سیال در منطقه رشت‌آباد ۰,۹۳-۰,۷۵ گرم بر سانتی‌متر مکعب است (شکل ۱۱ ب). با استفاده از نمودار دمای همگن شدگی نسبت به شوری که برای تعیین نوع کانساز به کار می‌رود [۳۳]، همه نمونه‌ها در گستره کانسازهای نوع فراگرمایی قرار دارند (شکل ۱۲).

محیط‌های مختلف شامل سنگ‌های آذرین و ماقمایی بین -۳۰- -۳‰، پوسته قاره‌ای -۷‰ و گوشته -۵‰ است [۳۷]. مقدار  $\delta^{13}\text{C}$  در جو -۱۱- تا -۷‰ و در مواد آلی -۱۰- تا -۳۰‰ است [۳۸]. مقدار  $\delta^{13}\text{C}$  در سیال جوی که با سنگ‌های کربناتی واکنش داده‌اند، از -۸- تا +۴‰ است [۳۹]. این مقدار در نمونه‌های منطقه مورد بررسی بین -۹,۲۱- تا -۶,۸۱‰ بدست آمد. همچنین، مقدار  $\delta^{18}\text{O}$  آب‌های جوی بین ۵/۷- ۴-۰‰ و سیال ماقمایی بین ۵/۷- تا ۱۰‰ است. سیال در تعادل با کلسیت در نمونه‌های منطقه مورد بررسی دارای  $\delta^{18}\text{O}$  برابر با -۱۴- تا -۱۵‰ است. نمودار مقادیر ایزوتوپی  $\delta^{13}\text{C}$  نسبت به  $\delta^{18}\text{O}$  در منطقه مورد بررسی به همراه این مقادیر در محیط‌های مختلف زمین‌شناسی خاستگاه رگه‌های کربناتی تأخیری در شکل ۱۳ نشان داده شده است.

گرمابی در معرض هجوم سیال جوی قرار می‌گیرد [۳۴]. از بررسی ایزوتوپ‌های کربن-اکسیژن، اطلاعات ارزشمندی پیرامون شکل‌گیری باطله‌های کربناتی و نسبت سیال/سنگ کانسار به دست می‌آید [۳۶]. در این پژوهش، از ایزوتوپ‌های کربن-اکسیژن در کلسیت به منظور اثبات نقش سیال جوی و دگرگونی‌های سامانه گرمابی در مراحل پایانی کانهزایی استفاده شد. همچنین، به منظور تعیین ویژگی‌های فیزیکوشیمی سیال کانه‌ساز سیال‌های درگیر در باطله کوارتز همراه کانسنگ سولفیدی بررسی شدند که نتایج آن در بخش پیش بیان شد. به منظور تعیین خاستگاه احتمالی سیال گرمابی در مراحل پایانی کانهزایی، ۸ نمونه کلسیت برای بررسی‌های ایزوتوپی کربن-اکسیژن انتخاب شدند. مقادیر ایزوتوپی  $\delta^{18}\text{O}$  و  $\delta^{13}\text{C}$  در کانه‌ساز کلسیت کانسار رشت‌آباد در جدول ۳ آورده شده است. مقادیر بدست آمده از  $\delta^{13}\text{C}$  برای تعیین خاستگاه سیال از

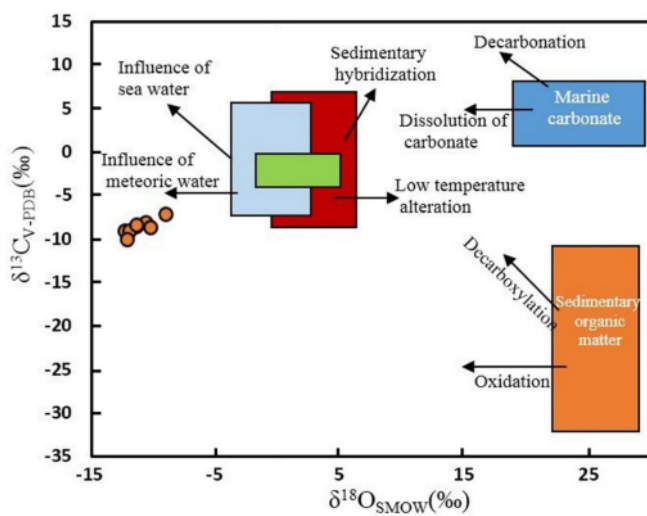


شکل ۱۲ نمودار تعیین نوع کانهزایی بر اساس شوری و دمای همگن شدگی [۳۳].

جدول ۳ مقادیر ایزوتوپی کربن و اکسیژن در نمونه‌های کلسیت از کانسار رشت‌آباد [۴۰].

شماره نمونه	$\delta^{13}\text{C}_{\text{PDB}}\text{\textperthousand}$	$\delta^{18}\text{O}_{\text{PDB}}\text{\textperthousand}$	$\delta^{18}\text{O}_{\text{SMOW}}\text{\textperthousand(a)*}$
Rs-CO-22	-۸,۳۹	-۱۴,۲۰	-۱۲,۵۰
Rs-CO-23	-۸,۰۱	-۱۳,۴۳	-۱۱,۷۲
Rs-CO-24	-۸,۴۱	-۱۳,۹۰	-۱۲,۱۹
Rs-CO-26	-۷,۶۷	-۱۲,۷۶	-۱۱,۰۶
Rs-CO-27	-۷,۸۴	-۱۳,۴۳	-۱۱,۷۲
Rs-CO-28	-۸,۱۱	-۱۲,۵۰	-۱۰,۷۹
Rs-CO-31	-۶,۸۱	-۱۱,۴۳	-۹,۷۲
Rs-CO-32	-۹,۲۱	-۱۴,۰۲	-۱۲,۳۱

\* محاسبات برگرفته از مرجع [۴۰].



شکل ۱۳ نمودار مقادیر  $\delta^{13}\text{C}$  و  $\delta^{18}\text{O}$  نسبت به  $\text{C}^{13}$  و موقعیت رگهای کربناتی تأخیری کانسار رشت آباد بر آن. محیط‌های مختلف زمین‌شناسی برای خاستگاه کربنات برگرفته از مرجع [۳۷] هستند.

سیال دیده نشد که به این دلیل نمی‌توان به قطعیت در مورد رخداد جوشش در کانسار رشت آباد نظر داد. بنابراین چنین بنظر می‌رسد که رقیق شدگی و آمیختگی هم‌دمای عوامل اصلی ته نشست عناصر فلزی در کانسار فراگرمایی رشت آباد، هستند. در منطقه رشت آباد سیال گرمایی در مراحل پایانی کانه‌زایی در تعادل با کلسیت دارای مقادیر  $\text{C}^{13}$  بین  $-9\text{--}21$ % تا  $-81\text{--}86$ % است. مقدار  $\delta^{18}\text{O}$  برای این سیال نیز  $-14\text{--}15$ % است. جایگاه نمونه‌های کانسار رشت آباد در نمودار  $\delta^{13}\text{C}$  نسبت به  $\delta^{18}\text{O}$  [۳۷] نیز بیانگر اثر سیال جوی بر خاستگاه کریں است (شکل ۱۳). بنابراین نتایج به دست آمده از تجزیه ایزوتوپ پایدار C-O ورود سیال جوی به سامانه گرمایی در مراحل پایانی کانه‌زایی را تایید می‌کند.

پژوهشگران مختلفی کانسارهای فراگرمایی را برپایه جایگاه زمین‌ساختی، ویژگی‌های ماقمایی، کانی‌شناسی و دگرسانی گرمایی به کانسارهای سولفیدشدنی بالا (HS)، سولفیدشدنی متوسط (IS) و سولفیدشدنی پایین (LS) تقسیم کرده‌اند [۳۲، ۳۲-۴۱]. با توجه به مقایسه کانسار مس-طلارشت آباد با انواع کانسارهای سولفیدشدنی بالا، متوسط و پایین (جدول ۴) و ویژگی‌هایی چون محیط زمین ساختی آهکی-قلیایی کمانی، سنگ میزان آندزیت-بازالت، مجموعه سولفیدی کالکوپیریت، گالن، بورنیت، کالکوسیت، رخداد کانه‌زایی بصورت رگه-رگچه‌ای، پرکننده فضای خالی، قشری، نواری، شانه‌ای و برشی، دگرسانی کوارتز-سریسیت و خاستگاه سیال ماقمایی-جوی، می‌توان کانسار رشت آباد را در رده کانسارهای اپی ترمال سولفیداسیون حدواسط قرار داد.

برداشت  
بطور کلی در سامانه‌های فراگرمایی، بیشترین فراوانی در دمای همگن‌شدنی برای فلزات پایه و گرانیها در گستره ۲۴۰ تا  $250^{\circ}\text{C}$  است. در این سامانه، سوری میانبارها  $170\text{--}200$  درصد وزنی معادل نمک‌طعم گزارش شده است [۳۴]. با توجه به دمای همگن‌شدنی و سوری نمونه‌ها و همخوانی آن با مقادیر معمول کانسارهای فراگرمایی، کانسار رشت آباد کانسار نوع فراگرمایی در نظر گرفته می‌شود (شکل ۱۲). از دیگر شواهد همخوانی این سامانه با سامانه‌های فراگرمایی، نبود  $\text{CO}_2$  در نمونه‌های مورد بررسی است. به اعتقاد [۳۱]، مقدار  $\text{CO}_2$  در سامانه‌های فراگرمایی ناچیز است.

در محیط‌های فراگرمایی، آمیختگی سیال‌های با خاستگاه متفاوت، واکنش دگرنهادی سنگ-آب و جوشش سیال کانه‌دار موجب تهنشست فلزات پایه و گرانیها از یک سیال کانه‌دار می‌شوند [۳۵]. با توجه به روند داده‌های ریزدماسنجی در نمودار دومتغیره شوری-دمای همگن‌شدنی (شکل ۱۱ الف) می‌توان تصور کرد که آمیختگی سیال‌های گرمایی کانه‌دار با سیال‌های جوی با دما و شوری پایین از عوامل مؤثر در نایابیار شدن کمپلکس‌ها و در نتیجه تهنشست فلزات در کانسار رشت آباد بوده است. روند دوم نشان‌دهنده تداوم مهاجرت و نقش سیال گرمایی-ماقمایی در تزریق مجدد سیال به رگه‌ها و حفظ دمای سیال است. حضور کلسیت تیغه‌ای نیز از نشانه‌های رخداد جوشش در منطقه است [۴۱] (شکل ۵ ج). با این وجود شواهدی از رخداد جوشش چون حضور میانبارهای غنی از مایع و گاز در کنار هم در میانبارهای

جدول ۴ مقایسه ویژگی‌های کانسارهای اپیترمال سولفیداسیون بالا، متوسط و پایین [۳۲، ۴۱، ۴۳].

ویژگی	سولفیدشده کم	سولفیدشگی متوسط	سولفیدشگی بالا	رشت آباد
محیط زمین ساختی	قوس آهکی-قلیابی و به احتمال بسیار در ارتباط با کانه‌زایی پورفیری	قوس آهکی-داسیتی آهکی-قلیابی	کرانه قوس‌های قاره‌ای کششی و فشارشی	قوس بازالت آندزیتی-آندزیت، آهکی-قلیابی
سنگ میزبان	آندزیت تاریوداسیت	آندزیت تاریوداسیت (ریولیت بصورت محلی)	اغلب ریوداسیت، آندزیت تاریوداسیت	آندزیت-ترکی آندزیت
بافت رگه‌ها	پرکننده فضای خالی، پوسته‌ای، شانه‌ای	پوسته‌ای، نواری، شانه‌ای، برشی، گل کلمی	حرفه‌ای، توده‌ای، برشی، جانشینی، رگه‌ای	شانه‌ای، رگه-رگچه‌ای، پرکننده فضای خالی و برشی
کانی‌های دگرسانی	ایلیت/اسمکتیت-آدولاریا	سریسیت بدون آدولاریا	کوارتز-آلونیت، کوارتز-پیروفیلیت/دیکیت	سریسیت، کلیست، کوارتز، بدون آدولاریا
کانی‌های سولفیدی شاخص	اسفالریت، گالن، استینینیت، آرسنوبیریت، پیریت، تراهدریت، کالکوبیریت، بولانگریت	اسفالریت، گالن، تراهدریت-تنانیت، کالکوبیریت، اسفالریت، فقیر از FeS، طلاخ آزاد، الکتروم، نقره آزاد	انارژیت، لوزونیت، فاماتینیت، کوولیت	کالکوبیریت، کوولیت، گالان
فلزات اصلی	Pb, Zn, Ag, Sb	Au-Ag, Ag-Au, -Ag-Au, Ag, Zn, Pb, Cu	Au-Ag, Cu, As-Sb, Cu+Au-Ag	Cu±Au, Pb-Zn
فلزات فرعی	Zn, Pb, Cu, Mo, As, Sb, Hg	As, Sb, Mo	Zn, Pb, Bi, W, Mo, Sn, Hg	Bi-Hg-As
دما	< ۲۲۰°C	۲۸۰-۲۲۰°C	۳۲۰-۱۸۰°C	۳۲۰-۱۳۸°C
خاستگاه سیال	ماگمایی-جوی	ماگمایی-جوی	ماگمایی-جوی	ماگمایی-جوی

area (north of Zanjan)," Ministry of Industry, Mine and Trade, (2007), 178pp.

[6] Nabatian G., Ghaderi M., Rashidnejad Omran N and Daliran, F., "Iron-apatite mineralization at Sorkhe Dizaj, Aliabad and Morvarieh deposits, southeast of Zanjan", 15th Symposium of Crystallography and Mineralogy of Iran, Ferdowsi University of Mashhad, Mashhad, Iran, (2007) (in Persian).

[7] Nabatian G. and Ghaderi M., *Mineralogy and geochemistry of rare earth elements at iron oxide-apatite deposits of Zanjan area*, Geological Survey of Iran, Scientific Quarterly Journal of Geosciences, Vol: 93 (3), (2014) p: 157-170 (in Persian).

[8] Nabatian Gh., Ghaderi M., Rashid Nejad M and Daliran F., "Sorkheh Dizaj apatite - iron oxide deposit as a Kiruna Type: mineralogy, texture and structure, alteration and comparative Studies" Iranian Journal of Crystallography and Mineralogy, Vol: 19 (4), (2012) p: 665-686.

[9] Kouhestani H., and Mokhtari M.A.A., *Geological and mineralization characteristics of*

#### قدرتانی

این پژوهش با حمایت معاونت پژوهش و فناوری دانشگاه بوعلی سینا، همدان انجام شد که از آن معاونت محترم سپاسگزاری می‌شود. همچنین نگارنده‌گان از سردبیر و داوران گرامی مجله بلورشناسی و کانی‌شناسی ایران برای پیشنهادهای ارزنده‌شان در بهتر شدن ساختار علمی مقاله کمال تشكر را دارند.

#### مراجع

- [1] Ghorbani M., "Economic Geology of Iran's Mineral and Natural Resources", Arian publication, (2007) 515pp.
- [2] Aghanabati A., "Economic Geology of Iran's Mineral and Natural Resources", Geological Survey of Iran, (2007) 345pp.
- [3] Alavi M., "Tectonic map of the Middle East: Scale 1:5,000,000", Tehran, Geological Survey of Iran (1991).
- [4] Nabavi M.H., "An introduction to the Iranian geology", Geological Survey of Iran, Tehran, (1976) 110 pp, (in Persian).
- [5] Geosciences Development Company Gold and associated elements exploration project in Golojeh

- associated with the Glojeh epithermal gold mineralization, NW Iran", Open Geoscience, Vol: 7 (2015) p: 207–222.*
- [18] Faridi M., Anvari A., "Geological map of the Hashtjin: Scale 1:100000", Geological Survey of Iran (2000).
- [19] Cox K.G., Bell J.D., Pankhurst R.J. *The interpretation of igneous rocks* "Springer/Chapman & Hall (1979) 468 pp.
- [20] Le Maiter R.W., *Classifications of igneous rocks and glossary of terms*, Black well scientific publications (1989) 206pp.
- [21] Middlemost E.A.K., *Towards a comprehensive classification of igneous rocks and magmas*", Earth Science Reviews. Vol: 31(1991) p: 73-87.
- [22] Winchester J.A. and Floyd P.A. *Geochemical Discrimination of Different Magma Series and Their Differentiation Product Using Immobile Elements* Chemical Geology, Vol: 20, (1977) p: 325-343.
- [23] Ajalli A., Torkian A., Tale Fazel E., *Geochemistry of the basaltic rocks of the Meshkin-Rasht Abad area (North of Zanjan)", Petrology* (in press).
- [24] Hastie A. R., Kerr A. C., Pearce J. A. and Mitchell, S. F. *Classification of altered volcanic arc rocks using immobile trace elements: development of the Th- Co discrimination diagram*", Journal of Petrology Vol: 48(12) (2007) p: 2341- 2357
- [25] Condie KC. *Geochemical changes in basalts and andesites across the Archean-Proterozoic boundary: identification and significance", Lithos*, Vol: 23 (1989) p: 1-18.
- [26] Peirovan H., *Mineralogical and geochemical classification of alteration rocks in Tarom region", Proceedings of the 9th Iranian Geological Society Conference, (2005) p: 427-440.*
- [27] Hoseini M., *Alunite Formation in Tarom Region", Second Iranian Geological Society Conference, (1995), p: 175-186.*
- [28] Vearncombe j. R., *Quartz vein morphology and implications for formation depth and Aliabad Cu occurrence, Tarom area, east of Zanjan", 17th Symposium of Geological Society of Iran and the 1st International Congress on Zagros Orogen, Shahid Beheshti University, Tehran, Iran (2013) (in Persian).*
- [10] Saeedi A., *Petrology and geochemistry of Aliabad Mousavi-Khanchy intrusions (Tarom area, Zanjan province) with considering on Cu mineralization*", M.Sc. Thesis, University of Zanjan, Zanjan, Iran, (2015) 152 pp. (in Persian).
- [11] Feizi M., Ebrahimi M., Kouhestani H and Mokhtari A. A., "Geology, Mineralogy and Geochemistry of Aghkand Copper Mine Occurrence, North of Zanjan, Tarom Hashtjin ", Journal of Economic Geology, Vol: 2, (2016) p: 524-507.
- [12] Mehrabi B., Chaghaneh N. and Tale Fazel, E., *Petrology, mineralogy and alteration studies of anomaly no. 4 of Gulloje polymetal deposit (northwest of Zanjan)* ,1st Symposium of Iranian society of Economic Geology, Ferdowsi University of Mashhad, Mashhad, Iran (2009) (in Persian).
- [13] Mehrabi B., Tale Fazel E., Ghasemi Siani M and Eghbali M.A., *Investigation on mineralization and genetic model of Gulloje Cu-Au vein deposit (north of Zanjan) using mineralogical, geochemical and fluid inclusion data. Journal of Sciences*, Vol: 35(4) (2010) p: 185–199 (in Persian).
- [14] Zamanian H., Rahmani S., Zarei-sahameih R. *Fluid inclusion and stable isotope study of the Lubin-Zardeh epithermal Cu-Au deposit in Zanjan Province, NW Iran Implications for ore genesis. Ore Geology Reviews*, Vol: 112 (2019 )103014.
- [15] Kouhestani H., Mokhtari M.A.A., Kezhang Q., Junxing Z., *Fluid inclusion and stable isotope constraints on ore genesis of the Zajkan epithermal base metal deposit, Tarom-Hashtjin metallogenic belt, NW Iran", Ore Geology Reviews*, Vol:109 (2019) p:564–584.
- [16] Brown P. E., "FLINCOR: A microcomputer program for the reduction and investigation of fluid inclusion data", American Mineralogist, Vol: 74 (1989) p: 1390-1393.
- [17] Ghasemi Siani, M., Mehrabi, B., Azizi, H., Wilkinson, C. and Generod, M. *Geochemistry and geochronology of the volcano-plutonic rocks*

- [37] Hoefs J., "Stable Isotope Geochemistry" 7th edition. Springer, Heidelberg, (2015) 1–285 pp.

[38] Clark I and Fritz P., *Environmental isotopes in Hydrogeology*, (1997) 249 pp.

[39] Kakegawa T and Nanri H., "Sulfur and carbon isotope analyses of 2.7 Ga stromatolites and sandstone in the Jeerinah Formation, Western Australia", Precambrian Research, Vol:148, (2006) p:115-124.

[40] Zheng Y. F., *Oxygen isotope fractionation in carbonate and sulfate minerals*, Geochemical Journal, Vol: 33, (1999) p: 109-126

[41] White N.C. and Hedenquist J.W., *Epithermal environments and styles of mineralization: variations and their causes, and guidelines for exploration*, Journal of Geochemical Exploration, Vol: 36, (1990) p: 445-474.

[42] Sollittoe R and Hedenquist J., *Linkages between volcanotectonic settings, ore-fluid compositions, and epithermal precious-metal deposits*, Society of Economic Geologists: Special Publication (2003) p: 315-343.

[43] Einaudi M.T., Hedenquist J.W., and Inan E., *Sulfidation state of fluids in active and extinct hydrothermal systems: Transitions from porphyry to epithermal environments* Society of Economic Geologists and Geochemical Society :Special Publication, Vol: 10 (2003) p: 285–313.

*classification of Archaean gold vein deposits", El Science, Vol: 8 (1993) p: 407-424.*

[29] Whitney D.L. and Evans B.W., *"Abbreviations for names of rock-forming minerals"*, American Mineralogist, Vol: 95, (2010) p: 185– 187 .

[30] Sheppard T.J., Rankin A.H and Alderton D.H. *A practical guide to fluid inclusion studies* , Mineralogical Magazine, Vol: 50(356) (1985) p: 352-353.

[31] Roedder E., *Fluid Inclusions, Reviews in Mineralogy*". Mineralogical Society of American, Vol: 12 (1984) 646 pp.

[32] Hayba D. O., Bethke P.M., Heald P., and Foley N. F., *"Geologic, mineralogic, and geochemical characteristics of volcanic-hosted epithermal precious-metal deposits"*, Economic Geology Review, Vol: 2, (1986) p: 129-167.

[33] Wilkinson J.J., *Fluid Inclusions in Hydrothermal Ore Deposits*" Lithos, Vol: 55, (2001) p: 229-272.

[34] Bodnar R.J., Lecumberri-Sanchez P., Moncada D and Steele-MacInnis M., *"Fluid inclusions in hydrothermal ore deposits. Treatise on Geochemistry"*, Second Edition. Elsevier, Oxford, (2014) p: 119-142.

[35] Hedenquist J.W., Arribas A.N.T.O.N.I.O., Gonzalez-Urien E., *"Exploration for epithermal gold deposits"* Reviews in Economic Geology, Vol:13(2), (2000) p: 45-77.

[36] Barnes H. L., *"Geochemistry of hydrothermal ore deposits"* (1997) 972pp